

树形分解 FFT 算法*

汪凯仁
(复旦大学)

提 要

本文对 K. Nakayama 提出的时间-频率混合抽选 FFT 算法作了简化和深化,提出了树形分解 FFT 算法,其实数乘法次数与 K. Nakayama 的方法相比,由 $(3/2)N \log_2 N - 7N + 10N^{1/2} - 4$ 减少到约为 $(65/64)N \log_2 N - 3N - 4$. 该算法并未改变 FFT 算法的基本结构,用软件和硬件实现不致有太大的变化.

一、引 言

自从 1965 年 J. Cooley 和 J. Tukey^[1] 提出 FFT 算法以来,已出现了多种多样的具体结构,基本上可分成两大类: 时间抽选型 (DIT) 和频率抽选型 (DIF). 利用旋转因子 w_N^k 中 $w_N^0 = 1$ 、 $w_N^{N/4} = -j$ 和 $w_N^{N/8} = \frac{\sqrt{2}}{2}(1 - j)$ 等几个特殊复数值,可以节省很多实数乘法运算次数,而且基底 4 的算法比起基底 2 的算法来可以节省更多. 在 DIT 型算法中,第 1、第 2 轮蝶形运算实际上不需要做乘法,以后各轮实质性的乘法运算逐步增加,到最后一轮最多. 而在 DIF 型算法中情况恰恰相反,第 1 轮应做最多的乘法,到最后两轮则没有乘法. 1979 年,日本的 K. Nakayama(中山谦二)把 DIT 和 DIF 组合起来,提出了一种更有效的混合抽选 FFT 算法 (MDFFT)^[2]. 对于 $N = 2^L$, L 为偶数的情况,使前 $L/2$ 轮蝶形运算按 DIT 进行,继而乘上一组旋转因子,然后使后 $L/2$ 轮

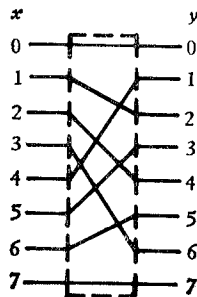


图 1 时间抽选重排 (TDS)

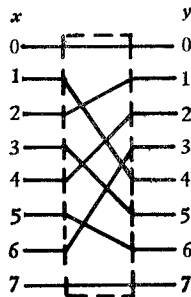


图 2 频率抽选重排 (FDS)

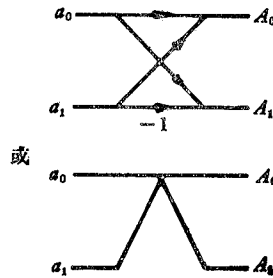


图 3 蝶形运算

* 1982 年 9 月 28 日收到, 1984 年 8 月 27 日修改定稿.

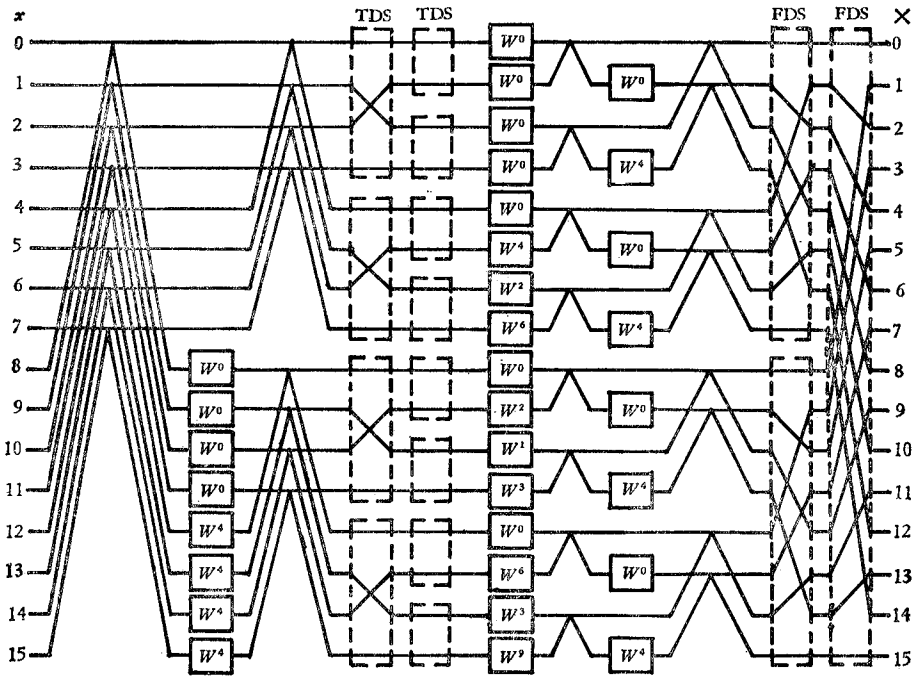


图 4 16 点 MDFFT ($w = w_{16}$)

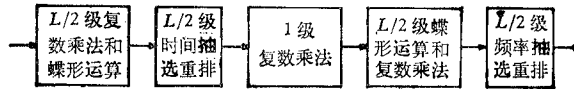


图 5 MDFFT 的结构

按 DIF 进行,得以节省乘法运算次数。中间还有一些为 DIT 和 DIF 过程所必须的数据重排过程 (Shuffle), 见图 1—5。其实数乘法运算次数为 $\frac{3}{2}N \log_2 N - 7N + 10N^{1/2} - 4$ 。在文献 [3] 中用类似于文献 [1] 的方法给出了这个算法的一种具体推导。

二、混合抽选 FFT 算法的简化解释

众所周知, FFT 的核心思想是利用 $N = P \cdot Q$ 时, N 点 DFT 可以用抽选的方法缩减运算次数。就是在

$$X(m) = \sum_{k=0}^{N-1} x(k)w_N^{km}, \quad 0 \leq m < N \quad (1)$$

中,取

$$\begin{aligned} m &= m_1P + m_0, & 0 \leq m_1 < Q, & \quad 0 \leq m_0 < P; \\ k &= k_1Q + k_0, & 0 \leq k_1 < P, & \quad 0 \leq k_0 < Q; \end{aligned} \quad (2)$$

则有

$$\begin{aligned} X(m) &= X(m_1 P + m_0) \\ &= \sum_{k_0=0}^{Q-1} \sum_{k_1=0}^{P-1} x(k_1 Q + k_0) w_N^{(m_1 P + m_0)(k_1 Q + k_0)} \\ &= \sum_{k_0=0}^{Q-1} \left[w_N^{m_0 k_0} \sum_{k_1=0}^{P-1} x(k_1 Q + k_0) w_P^{m_0 k_1} \right] w_Q^{m_1 k_0}. \end{aligned} \quad (3)$$

因此 N 点 DFT 的计算可以分解为 Q 个 P 点 DFT, 继而乘旋转因子 $w_N^{m_0 k_0}$ ($0 \leq m_0 < P$, $0 \leq k_0 < Q$), 然后是 P 个 Q 点 DFT. 这里 m 实际上是用一个特殊的二位数 $m = (m_1 m_0)$ 表示, 其低位 m_0 是 P 进制的, 高位 m_1 是 Q 进制的; k 也用二位数 $k = (k_1 k_0)$ 表示, 但低位 k_0 是 Q 进制的, 高位 k_1 是 P 进制的. 如果 N 个输入数据顺序存放, 所有的 P 点和 Q 点 DFT 运算都将计算结果顺序存放于原处 (in-place), 则在第 $k = (k_1 k_0) = k_1 Q + k_0$ 单元 (存一个复数的单元) 处求得的结果是 $X(m_0 Q + m_1)$, 与所需的 $X(m_1 P + m_0)$ 正好相差一个广义的反序过程.

通常的基底 2 的 FFT 算法用 $2^L = 2^{L-1} \cdot 2$, $2^{L-1} = 2^{L-2} \cdot 2 \cdots$ 的方法逐步分解, 可以得到 DIT 型 FFT 算法 (即 Cooley-Tukey 算法)^[1]. 在 L 轮蝶形运算中, 旋转因子乘法中可节省的部分逐轮减少. 如果用 $2^L = 2 \cdot 2^{L-1}$, $2^{L-1} = 2 \cdot 2^{L-2} \cdots$ 的方法逐步分解, 则得到 DIF 型 FFT 算法 (即 Sande-Tukey 算法)^[4], 旋转因子乘法中可节省的部分逐轮增加.

现在来考虑一般的 $N = P \cdot Q$ 的场合. 当 P 和 Q 都是 4 的倍数时, 我们把 N 的旋转因子排成矩阵形式如 (4) 式,

$$\begin{bmatrix} w^0 & w^0 & \cdots & w^0 & \cdots & w^0 & \cdots & w^0 & \cdots & w^0 \\ w^0 & w^1 & \cdots & w^{\frac{P}{4}} & \cdots & w^{\frac{P}{2}} & \cdots & w^{\frac{3P}{4}} & \cdots & w^{P-1} \\ \vdots & \vdots & \ddots & \vdots & \vdots & \vdots & \vdots & \vdots & \vdots & \vdots \\ w^0 & w^{\frac{Q}{4}} & \cdots & w^{\frac{P}{4} \cdot \frac{Q}{4}} & \cdots & w^{\frac{P}{2} \cdot \frac{Q}{4}} & \cdots & w^{\frac{3P}{4} \cdot \frac{Q}{4}} & \cdots & w^{(P-1) \frac{Q}{4}} \\ \vdots & \vdots & \ddots & \vdots & \vdots & \vdots & \vdots & \vdots & \vdots & \vdots \\ w^0 & w^{\frac{Q}{2}} & \cdots & w^{\frac{P}{4} \cdot \frac{Q}{2}} & \cdots & w^{\frac{P}{2} \cdot \frac{Q}{2}} & \cdots & w^{\frac{3P}{4} \cdot \frac{Q}{2}} & \cdots & w^{(P-1) \frac{Q}{2}} \\ \vdots & \vdots & \ddots & \vdots & \vdots & \vdots & \vdots & \vdots & \vdots & \vdots \\ w^0 & w^{\frac{3Q}{4}} & \cdots & w^{\frac{P}{4} \cdot \frac{3Q}{4}} & \cdots & w^{\frac{P}{2} \cdot \frac{3Q}{4}} & \cdots & w^{\frac{3P}{4} \cdot \frac{3Q}{4}} & \cdots & w^{(P-1) \frac{3Q}{4}} \\ \vdots & \vdots & \ddots & \vdots & \vdots & \vdots & \vdots & \vdots & \vdots & \vdots \\ w^0 & w^{Q-1} \cdots w^{\frac{P}{4}(Q-1)} & \cdots & w^{\frac{P}{2}(Q-1)} & \cdots & w^{\frac{3P}{4}(Q-1)} & \cdots & w^{(P-1)(Q-1)} \end{bmatrix} \quad (4)$$

可见其中有 $P + Q - 1$ 项为 $w_N^0 = 1$, 不必做复数乘法; 一项为 $w_N^{\frac{P}{2} \cdot \frac{Q}{2}} = -j$, 也不必做乘法; 四项为

$$w_N^{\frac{P}{4} \cdot \frac{Q}{4}} = w_N^{\frac{P}{4} \cdot \frac{Q}{2}} = \frac{\sqrt{2}}{2} (1 - j),$$

$$w_N^{\frac{P}{2} \cdot \frac{3Q}{4}} = w_N^{\frac{3P}{4} \cdot \frac{Q}{2}} = \frac{\sqrt{2}}{2} (-1 - j),$$

每当乘这种旋转因子只要做 2 次实数乘法 and 2 次实数加法;其余的 $PQ - P - Q - 4$ 个旋转因子乘法以每次复数乘法需要 3 次实数乘法和 3 次实数加法计 (见附录 1)。所以, 乘上全部旋转因子所需要的实数乘法次数和实数加法次数是

$$3(PQ - P - Q - 4) + 2 \cdot 4 = 3N - 3P - 3Q - 4. \quad (5)$$

当 P, Q 中有一个或两个仅是 2 的倍数而不是 4 的倍数时, 运算次数仍有所节省。对于恰有一个仅是 2 的倍数的场合, 类似地可得实数乘法次数和实数加法次数都是

$$3(PQ - P - Q - 2) + 2 \cdot 2 = 3N - 3P - 3Q - 2. \quad (6)$$

当 $P = Q = N^{1/2}$ 是 4 的倍数, 所有 $2N^{1/2}$ 个 $N^{1/2}$ 点 FFT 都采用基底 2 的 FFT 算法执行时, 我们来计算总的运算次数。已知 M 点 FFT 需要实数乘法 $\frac{3}{2}M \log_2 M - 5M + 8$ 次, 实数加法次数为实数乘法次数加上 $2M \log_2 M$, (见附录 2)。这时总的实数乘法次数为

$$\begin{aligned} & (3N - 3N^{1/2} - 3N^{1/2} - 4) + 2N^{1/2} \left(\frac{3}{2} N^{1/2} \log_2 N^{1/2} - 5N^{1/2} + 8 \right) \\ &= \frac{3}{2} N \log_2 N - 7N + 10N^{1/2} - 4. \end{aligned} \quad (7)$$

实数加法次数为

$$\begin{aligned} & (3N - 3N^{1/2} - 3N^{1/2} - 4) + 2N^{1/2} \left(\frac{7}{2} N^{1/2} \log_2 N^{1/2} - 5N^{1/2} + 8 \right) \\ &= \frac{7}{2} N \log_2 N - 7N + 10N^{1/2} - 4, \end{aligned} \quad (8)$$

仍是实数乘法次数加上 $2N \log_2 N$ 。

上面算出的实数乘法次数跟 Nakayama 的结果完全一致。但必须指出, 这里不仅大大简化了 Nakayama 的原来工作中的繁琐推导, 而且实际上也已改变了他所提出的“时间-频率混合抽选”的结构。因为在我们的推导中, 在乘一组旋转因子的前后各有 $N^{\frac{1}{2}} = 2^{\frac{L}{2}}$ 个 $2^{\frac{L}{2}}$ 点的 DFT, 可用任何基底 2 的 FFT 实现, 并未要求前 $2^{\frac{L}{2}}$ 个 FFT 用时间抽选型, 后面 $2^{\frac{L}{2}}$ 个 FFT 用频率抽选型, 如同图 5 和图 4 要求的那样。也就是说, 例如在图 4 中, 左边一列中的 0、4、8、12 这 4 点需作 4 点 DFT, 不是非用时间抽选型不可, 也可用频率抽选型, 并不影响总的实数乘法次数。

另一方面, 在 Nakayama 所提出的算法中两组数据重排 (Shuffle) 过程也不是这类方法的内在需要。因为作一次 $N = N^{\frac{1}{2}} \cdot N^{\frac{1}{2}}$ 的分解, 如果每个 $N^{\frac{1}{2}}$ 点 DFT 的结果顺序存放在原处, 则最后结果与所要求的 N 点顺序 DFT 值相差一个二位 $N^{\frac{1}{2}}$ 进制数的反序。如果 $N = 2^L$, L 为偶数, N 的二进制表示为 $(n_{L-1} \cdots n_{L/2} \ n_{(L/2)-1} \cdots n_0)$, 则这一反序实际上是

$$\underbrace{(n_{L-1} \cdots n_{L/2})}_{L/2 \text{ 位}} \underbrace{(n_{(L/2)-1} \cdots n_0)}_{L/2 \text{ 位}} \longleftrightarrow \underbrace{(n_{(L/2)-1} \cdots n_0)}_{L/2 \text{ 位}} \underbrace{(n_{L-1} \cdots n_{L/2})}_{L/2 \text{ 位}}. \quad (9)$$

如果每个 $N^{\frac{1}{2}}$ 点 DFT 用 FFT 的蝶形运算流程计算, 不作任何二进制反序, 则所得结果是按二进制反序存放的, 即 (9) 式右端的两组 $L/2$ 位都作二进制反序, 所得结果为

$(n_0 \cdots n_{(L/2)-1} n_{L/2} \cdots n_{L-1})$, 就是 $(n_{L-1} \cdots n_{L/2} n_{(L/2)-1} \cdots n_0)$ 的二进制反序. 如同通常的基底 2 的 FFT 算法一样, 所需的二进制反序过程可以放在输入后或输出前. 当然也可以用稍复杂的重排过程嵌在中间步骤中, Nakayama 所提出的一组时间抽选重排 (Time Decimation Shuffle) 和一组频率抽选重排 (Frequency Decimation Shuffle) 就是一个特例, 见图 1, 2, 4, 5. 如果这类不同的安排对硬件或集成电路实现有好处的话, 应是很有选择余地的.

三、树形分解方法

显然, 如果上述的 $N^{\frac{1}{2}}$ 点 DFT 不是直接采用常规 FFT 算法, 而继续采取 $N^{\frac{1}{2}} = N^{\frac{1}{4}} \cdot N^{\frac{1}{4}}$ 分解的话, 乘法次数应有进一步的节省. 一般地, 可考虑 $N = 2^{2^r}$ 的场合, 逐次分解直至 $16 = 4 \cdot 4$, 至于 $4 = 2 \cdot 2$ 用不用都可以, 因为已无乘法. 这样可以获得尽可能多的节省, 利用 (5) 式知, 总的实数乘法次数为

$$\begin{aligned} & (3N - 6N^{\frac{1}{2}} - 4) + (2N^{\frac{1}{2}})(3N^{\frac{1}{2}} - 6N^{\frac{1}{4}} - 4) + (2N^{\frac{1}{4}})(2N^{\frac{1}{4}})(3N^{\frac{1}{4}} - 6N^{\frac{1}{8}} - 4) \\ & + \cdots + (2N^{\frac{1}{2^j}})(2N^{\frac{1}{2^j}}) \cdots (2 \cdot 16)(3 \cdot 16 - 6 \cdot 4 - 4) \\ & = \sum_{j=2}^r 2^{r-j} 2^{(2^r-2^j)} (3 \cdot 2^{2^j} - 6 \cdot 2^{2^{j-1}} - 4). \end{aligned} \quad (10)$$

当 $r \geq 3$ 即 $N \geq 256$ 时, 可算出总的实数乘法次数为等于或略少于

$$\frac{65}{64} N \log_2 N - 3N - 4. \quad (11)$$

至于实数加法次数, 因为在旋转因子乘法中实数加法次数与实数乘法次数相等, 其余的加法仅出现在

$$(2N^{\frac{1}{2}})(2N^{\frac{1}{4}}) \cdots (2 \cdot 16)(2 \cdot 4) = \frac{1}{8} N \log_2 N \quad (12)$$

次 4 点 DFT 中, 现在每个 4 点 DFT 需要 16 次实数加法, 所以总的实数加法次数仍是总的实数乘法次数加上 $2N \log_2 N$.

然而, 对 $N = 2^{2^r}$ 当 $r = 2, 3, 4$ 时取值为 16、256、65536, 接着迅速增长成为天文数字. 看来有实用意义的仅有 256 和 65536 两个, 常用的 1024, 2048, 4096 等都不在此列. 但仍可用相同的思想构造算法以压缩运算次数. 例如对 $N = 2048$, 按图 6(a) 所示的二叉树逐步分解, 可算出实数乘法次数为 16836; 按图 6(b) 所示的二叉树逐步分解, 实数乘法次数为 18104. 顺便指出, 图 6(c) 所示的二叉树对应于 DIT 型 FFT 算法; 图 6(d) 则对应于 DIF 型 FFT 算法.

一般, 对 $L = \log_2 N = l_{r-1} 2^{r-1} + l_{r-2} 2^{r-2} + \cdots + l_1 \cdot 2 + l_0$, 可采用从二进制高位向低位的分解方法, 如图 7 所示. 其中当 $l_j = 0$ 时, $2^{l_j 2^j}$ 处的子树实际上并不存在. 这时要推导实数乘法次数的一般公式是极其麻烦的, 但当 N 为 16 的倍数, 即 $l_1 = l_0 = 0$ 时, 可用归纳法证明乘法次数仍然不超过 $\frac{65}{64} N \log_2 N - 3N - 4$. 对于其他情况, 往往稍有超过.

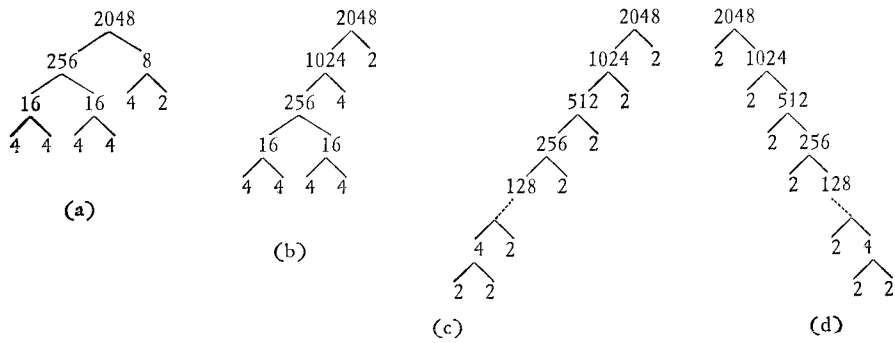


图 6 2048 因数分解的二叉树表示

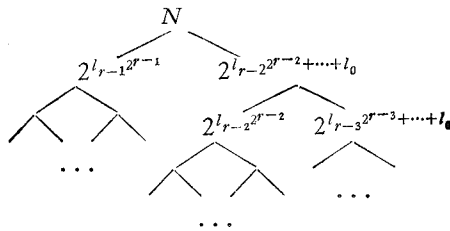


图 7 $N = 2^L$ 因数分解的一种二叉树表示

表 1 各种 FFT 算法实数乘法次数的比较

算 法	用于减少乘法 的旋转因子			实 数 乘 法 次 数			
				N 点	256点	2048点	65536点
	w_N^0	$w_N^{N/4}$	$w_N^{N/8}$				
基底 2	✓			$\frac{3}{2} N \log_2 N - 3N + 3$	2307	27651	1376259
	✓	✓		$\frac{3}{2} N \log_2 N - \frac{9}{2} N + 6$	1926	24582	1277958
	✓	✓	✓	$\frac{3}{2} N \log_2 N - 5N + 8$	1800	23560	1245192
基底 4	✓			$\frac{9}{8} N \log_2 N - 3N + 3$	1539	—	983043
	✓	✓		$\frac{9}{8} N \log_2 N - \frac{13}{4} N + 4$	1476	—	966660
	✓	✓	✓	$\frac{9}{8} N \log_2 N - \frac{43}{12} N + \frac{16}{3}$	1392	—	944812
混合抽选	✓	✓	✓	$\frac{3}{2} N \log_2 N - 7N + 10 \sqrt{N} - 4$	1436	—	1116668
树形分解	$N = 2^{2^r}$			$\leq \frac{65}{64} N \log_2 N - 3N - 4$	1308	—	864764
	$N = 2^L$	✓	✓	—	—	18104*	—
						16836**	

* 按图 6(b) 分解, ** 按图 6(a) 分解.

四、各种算法的比较

树形分解方法的实质在于充分利用 $w_N^0, w_N^{N/4}, w_N^{N/8}$ 可以节省运算的特点, 尽可能使它们多出现在旋转因子中。如果不顾这几个旋转因子的特殊性的话, 总的实数乘法次数还是 $\frac{3}{2} N \log_2 N$, 一点没有占到便宜。如果仅利用 $w_N^0 = 1$, 则运算次数与基底 4 的 FFT 相同。表 1 列出了一系列算法的实数乘法次数, 再加上 $2N \log_2 N$ 就都是实数加法次数。

另一方面, 按文献 [4] 的分析, 基数愈大愈可节省运算, 当然结构复杂到了不实用的地步。树形分解方法可以说是“穷尽”了其中的潜力, 但看来其结构还是可实现的, 这可结合硬件或线路作进一步的研究。

五、结 束 语

本文将 K. Nakayama 提出的时间-频率混合抽选 FFT 算法推广为树形分解 FFT 算法, 它的实数乘法次数降低到约为 $\frac{65}{64} N \log_2 N - 3N - 4$, 但基本结构仍属 FFT 类型, 用软件、硬件或集成电路实现不致有太大的变化。

本文受美国 Princeton 大学刘必治教授讲学的启发而写就, 并承刘教授慨允复制文献 [3] 中的附图 (本文的图 1—5), 谨致感谢。

附录 1 关于复数乘法

如果 $a + jb$ 是已知常数, 则直接计算

$$u + jv = (a + jb)(x + jy) = (ax - by) + j(ay + bx)$$

需要 4 次实数乘法、2 次实数加法。也可由

$$\begin{aligned} m_1 &= a(x + y), & m_2 &= (a + b)y, & m_3 &= (a - b)x, \\ u &= m_1 - m_2, & v &= m_1 - m_3 \end{aligned}$$

算出, 共需要 3 次实数乘法, 3 次实数加法。但这时要有 3 个单元存储常数 $a, a + b, a - b$ 。

附录 2 关于基底 2 的 FFT 算法的实数运算次数 ($N = 2^L$)

现仅对 DIT 型的场合计算, 对 DIF 型有相同的结论。这时第 1、第 2 轮蝶形运算没有实质性的实数乘法, 从第 3 轮开始, 第 i 轮的旋转因子重复 2^{L-i} 组, 每组 2^{i-1} 个旋转因子中有 $w_N^0 = 1, w_N^{N/4} = -j, w_N^{N/8} = \frac{\sqrt{2}}{2}(1 - j), w_N^{3N/8} = \frac{\sqrt{2}}{2}(-1 - j)$ 等 4 个特殊值, 总的实数乘法次数为

$$\sum_{j=3}^L 2^{L-j} [(2^{j-1} \cdot 4) \cdot 3 + 2 \cdot 2] = \frac{3}{2} N \log_2 N - 5N + 8.$$

在旋转因子乘法中涉及的实数加法次数同样是 $\frac{3}{2} N \log_2 N - 5N + 8$, 加上 $L = \log_2 N$ 轮蝶形运算中的 $2N \log_2 N$ 次实数加法, 总的实数加法次数为 $\frac{7}{2} N \log_2 N - 5N + 8$.

参 考 文 献

- [1] J. Cooley and J. Tukey, *Mathematics of Computation*, 19(1965), 297.
- [2] K. Nakayama, Fast Fourier Transform Using Mixed Frequency and Time Decimation, IECE of Japan, Report of Technical Group on Circuit Syst., Vol. CAS 79—94, pp. 49—54, Oct. 1979.
- [3] C. Caraiscos and B. Liu, Two Dimensional DFT Using Mixed Time and Frequency Decimation, Proc. Int. Conf. Acoust., Speech, Signal Processing, pp. 24—27, Paris, May 1982.
- [4] E. O. Brigham, *The Fast Fourier Transform*, Prentice-Hall, 1974.

TREE DECOMPOSITION FFT ALGORITHM

Wang Kairen

(Fudan University, Shanghai)

The Mixed Time and Frequency Decimation FFT Algorithm (MDFFT) proposed by K. Nakayama is simplified and deepened, then a new FFT algorithm based on tree decomposition process is developed. The number of real multiplications of the new algorithm is about $\frac{65}{64} N \log_2 N - 3N - 4$ which is less than $\frac{3}{2} N \log_2 N - 7N + 10 \sqrt{N} - 4$ of MDFFT.